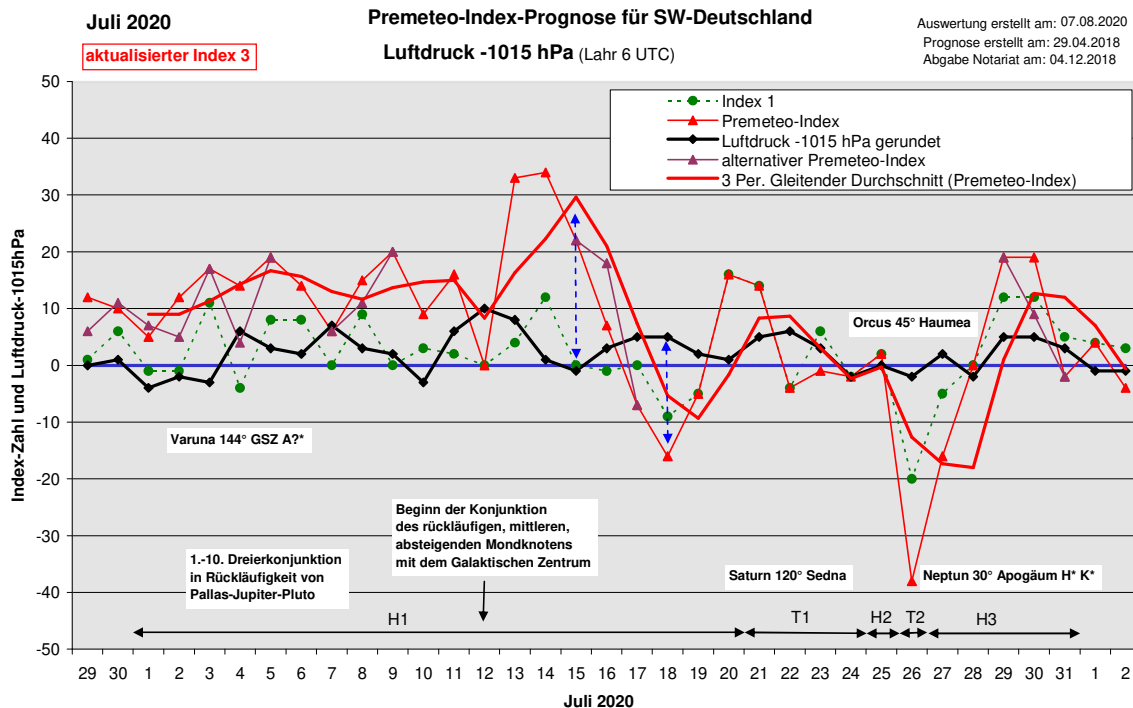


Wetterlagenverlauf Juli 2020 im Vergleich zur Premeteo-Indexprognose für Südwest-Deutschland

(Im Diagramm sind über der Datumsachse die real eingetreten Hoch- und Tiefdruckphasen durch Doppelpfeile eingetragen. Ausschlaggebend für die Evaluation ist der tägliche Premeteo-Index, in der dünneren, roten Linie mit Dreieckspunkten dargestellt. Ein negativer Premeteo-Index zeigt die Wahrscheinlichkeit für eine zyklonale Tiefdruckströmung, ein positiver Premeteo-Index die Wahrscheinlichkeit für eine antizyklonale Hochdruckströmung an.

Die Wetterlagenbeschreibungen wurden anhand der Berliner Wetterkarten erstellt. Ausschlaggebend ist die Europa-Bodenkarte um 0 UTC, die feiner skalierte 12 UTC-Karte von Mitteleuropa wird nur bei einem Wetterlagenwechsel für die Einordnung des Tages hinzugezogen. Am Ende des Dokuments befinden sich die Tabellen und Konstellationen, die dem Diagramm zugrunde liegen.)



Zusammenfassung: Der Juli 2020 war ein recht erfolgreicher Prognosemonat, da 25 Tage bezüglich des Wetterlagentyps richtig prognostiziert waren. Auch entsprach der mittlere Premeteo-Index pro Tag für Hochwetterlagen mit +9,73 und für Tiefdruckwetterlagen mit -6,20 der Hypothese. Der Monat war insgesamt wieder sehr trocken, vor allem durch die rund 3 Wochen lang anhaltende Hochdruckphase 1. Der Luftdruckverlauf verblieb insgesamt flach.

Am 12. setzte die Konjunktion des rückläufigen, mittleren und absteigenden Mondknotens mit dem Galaktischen Zentrum ein, die am 30. Juli exakt wurde und am 18. August ausklingen wird. In der ersten Woche der Konjunktionsphase zeigte sich eine gewisse Gegenläufigkeit zwischen dem Verlauf des Premeteo-Index und der Luftdruckkurve, die aber erst ab dem 17. zu Fehlprognosen bezüglich der Wetterlage führte.

Die wärmsten Tage des Monats in Lahr mit Tagesmitteltemperaturen von über 24°C der 5., 27., 28. und 31. Juli. Hierbei spielten folgende Aspekte eine Rolle: Sonne 0° Vesta H / 120° Ceres A, Jupiter 60° Neptun W*, Sonne 60° Makemake H / 144° Ceres A sowie abst., mittlerer Mondknoten 0° GaZ A* / 72° Juno H*, Merkur 120° Neptun W und Sonne 144° Quaoar HW.

Die kältesten Tage des Monats in Lahr waren der 7. und der 16. mit Tagesmitteltemperaturen um 16°C. Sie waren begleitet von den Aspekten Mars 180°

Makemake H / 72° Jupiter T, Venus 135° Pallas A / 135° Jupiter HK? sowie Sonne 180° Pluto H / 90° Eris A und Venus 90° Ceres AK?.

Der höchste Luftdruck in Lahr um 6 UTC wurde am 12. mit 1025,4 hPa gemessen. Dies vollzog sich zwischen Venus 45° Eris H am Vortag und Sonne 180° Pallas H am Folgetag.

Der tiefste Luftdruck trat in Lahr um 6 UTC am 1. und am 10. mit 1011,5 und 1011,9 hPa ein. Begleitende Aspekte waren: Merkur R 60° Uranus TK / 0° Sonne H, Sonne 60° Uranus AK / 60° Orcus A, Merkur 90° Chiron AK, Mars 180° GSZ A sowie Sonne 90° Apogäum HK, wobei beide Tage dennoch als überwiegend antizyklonal eingeordnet wurden.

Beschreibung der einzelnen Wetterphasen:

Hochdruckphase 1: Die Hochdruckphase, die schon am 29. Juni begann, setzte sich am 1. Juli mit einem Hoch über den Alpen und Hoch Valentin über dem Ostbalkan fort. Am 2. wechselte das Zentrum der antizyklonalen Strömung zu Azorenhoch Winfried. Hoch Winfrieds Kern verlagerte sich bis zum 4. nach Südwestdeutschland und bewegte sich zum 5. wieder zurück nach Westen über Nordspanien. Am 6. um 0 UTC zeigte er sich dann jedoch schon über dem Ostbalkan, und die Strömung über Südwestdeutschland ging in den Einflussbereich von Azorenhoch Xabi über. Die Kerne Hoch Xabis lagen am 7. über Nordwestfrankreich und Süddeutschland und am 8. zeigte sich ein Kern über der Biskaya und über den Alpen. Am 9. vergrößerte sich die Distanz zwischen den beiden Hochdruckkernen, und um 12 UTC des 10. dehnte Tief ex-Edouard mit Kern über den Beneluxländern seinen Isobarenbereich über ganz Deutschland aus. Schon um 12 UTC hatte sich die Strömung wieder antizyklonalisiert und Hoch Yoann über dem Ostatlantik wurde am 11. über Südwest- und Westdeutschland wetterwirksam. Der Kern von Hoch Yoann lag am 12. über den Beneluxländern. Am 13. befand sich Südwestdeutschland innerhalb der antizyklonalen Strömung, die einen Kern über dem Ostatlantik und den Kern Yoann über Tschechien hatte, wobei die 1025er Isobare eine großräumige Krümmung zum flachen Tiefdruck über dem Mittelmeerraum aufwies, die 1020er Isobare, die die Antizyklone nach außen abschloss jedoch nicht. Am 14. blieb die Wetterlage im Prinzip so erhalten, der Kern von Hoch Yoann hatte sich dabei bis über die Ostalpen verlagert. Um 0 UTC des 15. schaffte es Tief Yvonne mit Kern über Südschweden seinen Einfluss bis nach Südwestdeutschland auszudehnen, es kam lokal auch zu Regenfällen, doch bis 12 UTC hatte sich bereits wieder eine antizyklonale Strömung eingestellt, die am 16. in den Isobarenbereich von Hoch Zebedäus über dem Ostatlantik übergang, das auch am 17. die Wetterlage bestimmte. Der Kern von Hoch Zebedäus lag am 18. bei einem Premeteo-Index von -16 über Westdeutschland. Der negative Index bewirkte nur eine rasche Bewegung des Kerns nach Osten, der am 19. schon das Baltikum erreichte, und führte zu einem Wechsel der Region in ein Hoch über den Alpen am 19. und in das nächste von Westen herankommende Hoch Albrecht am 20. Juli. Der negative Index am 18. ging auf die Aspekte Sonne 45° Orcus T / 90° Haumea T und die damit verbundene Symmetrie Orcus 45° Sonne Haumea T T* T -14 zurück, die sich nur schwach und verzögert durchsetzen konnte.

Tiefdruckphase 1: Erst am 21., als der Premeteo-Index bereits wieder einen positiven Wert angenommen hatte, setzte sich ein Ausläufer eines Tiefs über Westfrankreich in unserer Region für einen Tag durch. Hoch Albrecht mit Kern über Südengland dehnte sich um 0 UTC des 22. über Südwestdeutschland aus, doch stellte sich bis 12 UTC wieder eine zyklonale Strömung ein, die sich am 23. um 0 UTC als Wellentief mit Kern über Südwestdeutschland darstellte. Am 24. lag die Region dagegen im Isobarenbereich von Tief Beate über Südschweden. Der Premeteo-Index summierte über die 4-tägige Tiefdruckphase auf +7.

Hochdruckphase 2: Das Azorenhoch übernahm am 25. für einen Tag die Regie. Der Premeteo-Index hatte einen Wert von +2.

Tiefdruckphase 2: Tief Christiane mit Kernen bei Schottland dehnte sich am 26. bis über unsere Region aus und brachte etwas Niederschlag. Der Premeteo-Index hatte einen Wert von -38.

Hochdruckphase 3: Hoch Balu über den Alpen übernahm am 27. die Regie. Am 28. um 0 UTC hatte sich Tief Dana mit Kern über dem Nordmeer bis in unsere Region ausgedehnt,

konnte sich jedoch nicht bis 12 UTC halten und am 29. kam Hoch Claws zum Zuge, das die Wetterlage bis zum 31. bestimmte. Sein Kern bewegte sich von Nordwestfrankreich über West- nach Norddeutschland. Dabei fiel der Luftdruck leicht ab. Der Premeteo-Index hatte am 31. einen flach negativen Wert. Über die 5-tägige Hochdruckphase summierte er auf +20. SW-D befand sich an 26 Tagen im Einflussbereich antizyklonaler Strömung. Die Summe des prognostizierten Premeteo-Index für diese Tage ergab +253. Dies entsprach einer Indexzahl von +9,73 pro Tag.

An 5 Tagen befand sich SW-D im Einflussbereich zyklonaler Strömung. Die Summe des prognostizierten Premeteo-Index für diese Tage ergab -31. Dies entsprach einer Indexzahl von -6,20 pro Tag.

Die Prognose durch die Premeteo-Wettersymbole war an 4 Tagen falsch (am 2., 15., 18., 27.), an 13 Tagen richtig und an 14 Tagen tendenziell richtig.

Zu den Tabellen



07.08.2020

Juli 2020



Prognose für SW-Deutschland

aktualisierter Index 3

Vom 1. bis 10. Dreierkonjunktion Pallas-Jupiter-Pluto. Vom 4. bis 7. Konjunktion Sonne-Vesta. 13. bis 16. Konjunktion Mars-Chiron. Vom 12. bis 31. Konjunktion Kn2-GaZ. Vom 26. bis 27. Konjunktion Sonne-Varuna.

Die rot markierten Aspekte im Index 3 sind Aspekte, bei denen der ursprüngliche Konjunktionsplanet den höheren Rang hat als der Partnerplanet. Das bedeutet, dass der Konjunktionsplanet bei diesen Aspekten immer als Planet 2 auftritt. Diese Aspekte werden ab Januar 2020 nicht mehr angerechnet.

01.07.2020

Langsamläufer-Impulse			H*	T*						
Schnellläufer-Impulse	H	T	H, T	H	H, T	H, T	H	T, Hf		H
Temperaturimpulse	2K				K		K?			K
Premeteo-Index -zyklonal, + antizyklonal (Index 1+2+3)	5	12	17	14	19	14	6	15	20	9
Pre.IX (ALTERNATIV)	7	5		4				11		
Index 1 (12 - 12 UTC) exakte Aspekte des Tages	-1	-1	11	-4	8	8	0	9	0	3
Index 1(ALTERNATIV)	1			-14				5		
Symmetrien (0 - 0 UTC)	Son 60 Ura Orc (13) A K A T*(4/7/1) ---	Mer 90 Chi Jun (01) A K T A* --- Son 2 Ves Mer (04) H H +7/0 wegen gegensätzlichen Auslösungen!		Mar Top Mak GSZ (03) H A +7 Ves 10op Pal Qua (19) T* A* ---	Son 10op Pal Qua (00) H A --- Jup 10op Son Var (11) H W H* (11/3) --- Jup 10op Ves Var (15) A* H* (11/3) ---		Plu 9op Son Var (11) H ?* ---	Plu 9op Ves Var (17) A* ?* ---	Mar 4op Jun GSZ (16) H A ---	Mer 99 Mar Mak (12) Hf A H +14
Index 2 (12 - 12 UTC)	0	7	0	7	0	0	0	0	14	0
Index 2 ALTERNATIV		0								
ausgelöste Aspekte (= durch Konjunktionen aktivierte Aspekte)	Plu 90 Eri A*(4/5) Jup 0 Plu H6	Plu 90 Eri A*(4/5) Jup 0 Plu H6	Plu 90 Eri A*(4/5) Jup 0 Plu H6	Ves 120 Cer H5 Plu 90 Eri A*(4/5) Jup 0 Plu H6	Ves 120 Cer H5 Plu 90 Eri A*(4/5) Jup 0 Plu H6	Mar 72 Jup T-4 Plu 90 Eri A*(4/5) Jup 0 Plu H6	Ven 135 Jup H2 Mar 72 Plu T-4 Plu 90 Eri A*(4/5) Jup 0 Plu H6	Ven 135 Jup H2 Mar 72 Plu T-4 Plu 90 Eri A*(4/5) Jup 0 Plu H6	Ven 135 Jup H2 Mar 72 Plu T-4 Plu 90 Eri A*(4/5) Jup 0 Plu H6	Plu 90 Eri A*(4/5) Jup 0 Plu H6
Index 3 (Summe)	6	6	6	11	11	6	6	6	6	6
Index 3 ALTERNATIV	3	2	2	2	2	2	3	2	2	3
Symbol-Prognose	3	2	2	2	2	2	3	2	2	3
Symbol-Prognose altern.	3	2	2	2	2	2	3	2	2	3
Wochentag	Mi	Do	Fr	Sa	So	Mo	Di	Mi	Do	Fr
Datum	1	2	3	4	5	6	7	8	9	10
reale Wetterlage	H1: HF*, 2H*, 2HF, 16H - T1*, 2T*, 10 T / +231									
Luftdruck (hPa) 06 UTC	1011,5	1013	1012,2	1021,2	1018,3	1017,3	1022,3	1018,2	1017,4	1011,9
mittl. Temp.(°C)	23	20,4	19,5	20,7	24,2	18,7	16,8	20,3	23,5	22,8
Sonnenscheindauer (h)	10,6	1,8	10,4	10,7	7,1	7,5	14,4	8,9	12,1	8,2
Niederschlag (Liter)	0,6 / 2	0,8 / 5,5	0	0	1,1 / 6	0	0	0	0	0,1
Bodenwetterlage 00 UTC (Kernlage des Druckgebiets, das SW-D beeinflusst)	H ü Alpen	Azor-H	Azor-H	H ü SW-D	H ü N-Iber	H ü Alp, Azor-H	H mit Kernen ü NW-F u S-D	H ü Bisk, H ü Alpen	Azor-H, H ü O-Balk	T ü Benel
Bodenströmung 12 UTC zyklonal (z), antizyklonal (a)	a-z	a	a	a	a	fl a	a	fl a	fl a	fl a
Strömung auf 500 hPa 00 UTC	WSW a-z	SW z	SW z	NO fl a	NW fl a	SW z	NW z	NW a-z	WNW a-z	W a-z
zutreffende Wettersymbole	2 hr	3-5 f	2 r	2 r	2-3 hr	3 hr	2 hr	2-5 hr	2 r	3 r

Übertrag	02:54	07:35	01:51	00:51	06:09	08:11	02:53	02:40	15:04	04:53
Index 1: -1	MER 0 SON	MER 90 JUN	MAR 120 VAR	PAL 0 JUP	SON 0 VES	MAR 180 MAK	VEN 135 PAL	MAR 72 PLU	VEN 135 PLU	SON 90 APO
Index 2: 0	KRE 09*44*38" H 0/+2	KRE 09*01*51" T -1	WID 02*59*42" LÖW 02*59*42" H ---	STE 23*38*52" T* 0/10	KRE 13*41*07" H +6	WID 04*54*17" H +8	STE 22*48*27" A	STE 05*55*27" T ---/-4	ZWI 08*53*16" STE 23*53*16" A	KRE 18*24*02" WID 18*24*02" H K +3
	06:07	12:16	04:27	07:53	14:46	11:28	05:24	09:42		17:59
	SON 60 URA	PAL 0 Plu	VES 120 CER	SON 120 CER	MER 30 VEN	MAR 72 PAL	MER 72 ERI	URA 150 JUN		JUN 30 ORC
	KRE 09*52*18" STI 09*52*19" A K	STE 24*03*23" STE 24*03*24" A*	KRE 12*46*42" FIS 12*46*42" HF* +11	KRE 12*48*04" FIS 12*48*03" A	KRE 07*14*35" ZWI 07*14*34" T K -1	WID 04*59*02" STE 22*59*01" A	KRE 06*32*35" WID 24*32*35" A	STI 10*06*13" WAA 10*06*13" A*		WAA 10*32*57" JUN 10*32*57" A*
	16:57		23:10	11:14	18:42	23:43	23:16	10:43		18:37
	MER 90 CHI	MAR 90 QUA	VES 45 SED	SED 30 KN1	MAR 72 JUP	VEN 135 JUP	MER 90 MAR			VEN 60 CHI
	KRE 09*23*33" WID 09*23*32" A K	WID 03*31*06" STE 03*31*06" T -4	KRE 13*20*24" STI 28*20*24" A*	KRE 13*20*24" STI 28*21*12" WID 05*16*44" STE 23*16*43" T ---	WID 05*16*44" STE 23*16*43" H K? +2	ZWI 08*09*16" STE 23*09*16" Hf +7	KRE 06*06*58" WID 06*06*58" A			WID 09*26*12" A
	19:54		23:34	13:46						
	SON 60 ORC	ORC 72 KN1	JUN 180 CHI							
	KRE 10*25*08" JUN 10*25*09" A	JUN 10*26*54" ZWI 28*26*54" A*(8/6)	WAA 09*24*51" WID 09*24*51" A*							
	23:20		14:40							
	MAR 180 GSZ		VAR 144 GaZ							
	WID 02*20*25" WAA 02*20*25" A		LÖW 03*01*52" SCH 27*01*52" A*(2/1)							
			21:34							
			SON 45 SED							
			KRE 13*20*40" STI 28*20*40" H +3							

Juli 2020



Prognose für SW-Deutschland

aktualisierter Index 3

Vom 1. bis 10. Dreierkonjunktion Pallas-Jupiter-Pluto. Vom 4. bis 7. Konjunktion Sonne-Vesta. 13. bis 16. Konjunktion Mars-Chiron. Vom 12. bis 31. Konjunktion Kn2-GaZ. Vom 26. bis 27. Konjunktion Sonne-Varuna.

Die rot markierten Aspekte im Index 3 sind Aspekte, bei denen der ursprüngliche Konjunktionsplaner den höheren Rang hat als der Partnerplanet. Das bedeutet, dass der Konjunktionsplaner bei diesen Aspekten immer als Planet 2 auftritt. Diese Aspekte werden ab Januar 2020 nicht mehr angerechnet.

Langsamläufer-Impulse				H*	Ti*			T*		H*
Schnellläufer-Impulse	H	T	H	T, 2H	2H			3T	H	2H, Hf
Temperaturimpulse		W	W	2W		K?	K?		K	
Premeteo-Index - zyklonal, + antizyklonal (Index 1+2+3)	16	0	33	34	22	7	-7	-16	-5	16
Pre.IX (ALTERNATIV)						18				
Index 1 (12 - 12 UTC) exakte Aspekte des Tages	2	0	4	12	0	-1	0	-9	-5	16
Index 1(ALTERNATIV)						10				
Symmetrien (0 - 0 UTC)	Mar 3op Jun Mak (11) H H +14 Ven 136 Plu Hau (12) A A ? #	Jup 1 Plu Pal (07) H T ? Cer 76 Sed GaZ (22) T?(0)2 ---	Son 71 Ura GSZ (06) H A A*(4)5 +7 Eri 16 Mar Ura (08) H --- Son 1op Jup Pal (16) H W H +14 Ura 31 Ven Chi (21) A H*(8)3 A ---	Ura 31 Ven Mar (03) A H A W +7 Son 2op Plu Pal (07) H H +14 Son 72 Ura Mak (15) H A A*(10)8 (+7)	Son 1op Jup Plu (01) H W H +14 Pal 2op Son Ves (04) H T ?	Sat 4op Son Var (16) H H?(7)2 --- Son 4op Sat Pal (16) H H ---	Jop 3op Son Ves (09) H W A* 0 wegen Index 1 Son 91 Eri Hau (07) A T ? -7 Son 4op Jup Sat (13) H W H --- Eri 91 Son Plu (13) A A?(4)5 H 0 Hau 15op Mar Ura (17) H +7 Orc 45 Son Hau (17) T T -14	Son 3op Sat Plu (10) H H 0 wegen Index 1 Son 7 Ves Var (16) H T ---	Plu 4op Son Ves (14) H A* #	Ves 1op Jup Pal (11) A* T 0 wegen Index 1
Index 2 (12 - 12 UTC)	14	0	21	14	14	0	-7	-7	0	0
Index 2 ALTERNATIV										
ausgelöste Aspekte (= durch Konjunktionen aktivierte Aspekte)		Var 144 GaZ A?(2/1)	Chi 30 Ura H8 Var 144 GaZ A?(2/1)	Chi 30 Ura H8 Var 144 GaZ A?(2/1)	Chi 30 Ura H8 Var 144 GaZ A?(2/1)	Chi 30 Ura H8 Var 144 GaZ A?(2/1)	Var 144 GaZ A?(2/1)	Var 144 GaZ A?(2/1)	Var 144 GaZ A?(2/1)	Var 144 GaZ A?(2/1)
Index 3 (Summe)	0	0	8	8	8	8	0	0	0	0
Index 3 ALTERNATIV										
Symbol-Prognose	2	3	2	2	2	3	3	5	3	2
Wochentag	Sa	So	Mo	Di	Mi	Do	Fr	Sa	So	Mo
Datum	11	12	13	14	15	16	17	18	19	20
reale Wetterlage										
Luftdruck (hpa) 06 UTC	1021,3	1025,4	1022,7	1016,3	1014,2	1018,1	1020,1	1019,8	1017,3	1015,8
mittl. Temp.(°C)	18,8	18,4	19,5	21,2	17,3	16,2	18,1	20,3	21,2	22,8
Sonnenscheindauer (h)	12,7	14,8	14,6	9,9	0,1	0	4,4	13,3	13,1	10,3
Niederschlag (Liter)	0 / 1	0	0	1,5	13,6 / 11	6,0 / 9	0 / 8	0	0	0
Bodenwetterlage 00 UTC (Kernlage des Druckgebiets, das SW-D beeinflusst)	H ü O-Atl	H ü Benel	H ü Tschech, T ü NW-Afr	H ü O-Atl, H ü O-Eu	T ü S-Skand	H ü O-Atl, T bei Biskaya	H ü O-Atl	H ü W-D	H ü Alpen	H ü O-Atl
Bodenströmung 12 UTC zyklonal (z), antizyklonal (a)	a-z	z	z	fl a	a	a	a	fl z	fl a	fl a
Strömung auf 500 hpa 00 UTC	SW z	NW z	NW a-z	W a-z	W z	NW z	NW z	N fl z	NNW a-z	W fl a
zutreffende Wettersymbole	2 r	2 hr	2 r	2 r	5 f	5 hr	3-5 hr	2 f	2 hr	2 r

VEN 45 ERI ZWI 09°33'02" WID 24°33'02" H +2	00:08	SON 72 GSZ KRE 20°20'23" WAA 02°20'24" A	05:42	SON 180 PAL KRE 21°09'23" STE 21°09'24" H +6	02:15	VEN 120 JUN ZWI 11°13'18" WAA 11°13'18" T -2	03:10	VAR 150 QUA LÖW 03°17'52" STE 03°17'52" TI* -11/0	15:19	VEN 90 CER ZWI 12°34'17" FIS 12°34'18" A K?	09:46	MAR 72 SAT WID 10°55'19" STE 28°55'19" T ---	03:18	VEN 144 PAL ZWI 13°44'33" STE 19°44'33" A	06:05	SON 150 GAZ KRE 27°01'52" SCH 27°01'53" A	06:01	MAR 180 JUN WID 12°29'51" WAA 12°29'52" H +8	03:18
VEN 30 URA ZWI 10°12'55" STI 10°12'54" A	07:12	VEN 135 EL6 ZWI 10°46'35" WAA 25°46'36" A W	08:07	PAL 60 NEP STE 20°50'34" FIS 20°50'34" H* +5	05:31	SON 180 PLU KRE 23°44'21" STE 23°44'20" H +6	19:14	MAR 150 ORC WID 10°38'47" JUN 10°38'47" A	14:55	MER 72 ERI KRE 06°33'28" WID 24°33'27" A	05:46	VEN 135 SAT ZWI 13°49'48" STE 28°49'47" A	09:18	PAL 90 APO STE 19°25'40" WID 19°25'40" A*	10:10	VEN 72 GSZ KRE 20°20'22" WAA 02°20'23" H* +5	10:09		
SON 120 NEP KRE 20°51'30" FIS 20°51'30" A W	23:45	VEN 90 ORC ZWI 10°35'07" JUN 10°35'06" T -2	08:00	SON 180 JUP KRE 22°20'19" STE 22°20'19" H W +6	08:00	MAR 30 URA WID 10°18'39" STI 10°18'39" H W +3	06:12	SON 90 ERI KRE 24°33'27" WID 24°33'26" A	23:55	SON 45 ORC KRE 25°40'03" JUN 10°40'03" T -3	15:49	VEN 180 PAL KRE 19°36'26" STE 19°36'26" T* -5	19:44	CER 150 JUN FIS 12°22'08" WAA 12°22'08" A*	18:08	SON 60 SED KRE 28°29'05" STI 28°29'05" A	13:16	18:33	
VEN 90 ORC ZWI 10°35'07" JUN 10°35'06" T -2	23:45	VEN 90 ORC ZWI 10°35'07" JUN 10°35'06" T -2	08:00	MAR 0 CHI WID 09°26'05" WID 09°26'05" A	09:09	SON 72 FY9 KRE 22°58'14" WAA 04°58'13" A	23:54	VEN 90 APO KRE 19°16'01" WID 19°16'01" A*	15:49	SON 90 HAU KRE 25°47'08" WAA 25°47'09" T K? -6	22:42	VEN 135 CER KRE 27°21'55" FIS 12°21'56" Hf +8	19:44	SON 135 CER WID 12°20'49" FIS 12°20'49" A	14:25	VEN 144 JUP ZWI 15°30'02" STE 21°30'02" Hf +8	20:20	22:29	20:31
VEN 90 ORC ZWI 10°35'07" JUN 10°35'06" T -2	23:45	VEN 90 ORC ZWI 10°35'07" JUN 10°35'06" T -2	08:00	MAR 0 CHI WID 09°26'05" WID 09°26'05" A	09:09	SON 72 FY9 KRE 22°58'14" WAA 04°58'13" A	23:54	VEN 90 APO KRE 19°16'01" WID 19°16'01" A*	15:49	SON 90 HAU KRE 25°47'08" WAA 25°47'09" T K? -6	22:42	VEN 135 CER KRE 27°21'55" FIS 12°21'56" Hf +8	19:44	SON 135 CER WID 12°20'49" FIS 12°20'49" A	14:25	VEN 144 JUP ZWI 15°30'02" STE 21°30'02" Hf +8	20:20	22:29	20:31
VEN 90 ORC ZWI 10°35'07" JUN 10°35'06" T -2	23:45	VEN 90 ORC ZWI 10°35'07" JUN 10°35'06" T -2	08:00	MAR 0 CHI WID 09°26'05" WID 09°26'05" A	09:09	SON 72 FY9 KRE 22°58'14" WAA 04°58'13" A	23:54	VEN 90 APO KRE 19°16'01" WID 19°16'01" A*	15:49	SON 90 HAU KRE 25°47'08" WAA 25°47'09" T K? -6	22:42	VEN 135 CER KRE 27°21'55" FIS 12°21'56" Hf +8	19:44	SON 135 CER WID 12°20'49" FIS 12°20'49" A	14:25	VEN 144 JUP ZWI 15°30'02" STE 21°30'02" Hf +8	20:20	22:29	20:31

Juli 2020



Prognose für SW-Deutschland

aktualisierter Index 3

Vom 1. bis 10. Dreierkonjunktion Pallas-Jupiter-Pluto. Vom 4. bis 7. Konjunktion Sonne-Vesta. 13. bis 16. Konjunktion Mars-Chiron. Vom 12. bis 31. Konjunktion Kn2-GaZ. Vom 26. bis 27. Konjunktion Sonne-Varna.

Die rot markierten Aspekte im Index 3 sind Aspekte, bei denen der ursprüngliche Konjunktionsplaneten den höheren Rang hat als der Partnerplanet. Das bedeutet, dass der Konjunktionsplaneten bei diesen Aspekten immer als Planet 2 auftritt. Diese Aspekte werden ab Januar 2020 nicht mehr angerechnet.

Langsamläufer-Impulse		H*				2T*				T*, 2H*			
Schnellläufer-Impulse		2T	T	H	H, 3T	T	H, Tf, H, Hf	H	2H	Hf, T	H		
Temperaturimpulse	K	K			K?		K?, W*			K*, W	K, W		
Premeteo-Index -zyklonal, + antizyklonal (Index 1+2+3)	14	-4	-1	-2	2	-38	-16	0	19	19	-2		
Pre.IX (ALTERNATIV)										9			
Index 1 (12 - 12 UTC) exakte Aspekte des Tages	14	-4	6	-2	2	-20	-5	0	12	12	5		
Index 1 (ALTERNATIV)										2			
Symmetrien (0 - 0 UTC)	Pal 10op Son Mer (05) H H ...	Mer 23 Ven Var (09) H 0 Plu 5 Sat Pal (11) H*(4,2) A* ...	Mer 60 Ura Orc (06) T A T*(4,7/1) -7 Mer 60 Pal Qua (05) H A ... Jup 10op Son Mer (14) H W A ...	Ves 10 Son Mer (13) H H ...	Pal Sop Ves Mer (10) T H ... Plu 10op Son Mer (20) H A K ...	Ves 72 Ura Mak (01) A* T* A*(10/8) -7 Sat Sop Son Ves (04) H A* ... Sat Sop Ves Var (07) A* H*(7/2) ... Ves Sop Sat Pal (08) A* T* ... Mer 89 Mar Jun (20) Hf T H ?		Mer 20p Jup Pal (12) A H +7 Sat Sop Son Mer (17) H H ...	Mer 30p Plu Pal (10) A K H +7	Ves 91 Eri Hau (12) T* A* ? -7 Sat Sop Var Mer (16) H*(7/2) H ... Mer Sop Sat Pal (17) H H ...			
Index 2 (12 - 12 UTC)	0	0	-7	0	0	-7	0	0	7	7	-7		
Index 2 ALTERNATIV													
ausgelöste Aspekte (= durch Konjunktionen aktivierte Aspekte)	Var 144 GaZ A*(2/1)	Var 144 GaZ A*(2/1)	Var 144 GaZ A*(2/1)	Var 144 GaZ A*(2/1)	Var 144 GaZ A*(2/1)	Ven 45 Var H2 Var 150 Qua T-11 Var 144 GaZ A*(2/1)	Var 150 Qua T-11 Var 144 GaZ A*(2/1)	Var 144 GaZ A*(2/1)	Var 144 GaZ A*(2/1)	Var 144 GaZ A*(2/1)	Var 144 GaZ A*(2/1)		
Index 3 (Summe)	0	0	0	0	0	-11	-11	0	0	0	0		
Index 3 ALTERNATIV													
Symbol-Prognose	2	3	3	3	3	5	5	3	2	2	3		
Wochentag	Di	Mi	Do	Fr	Sa	So	Mo	Di	Mi	Do	Fr		
Datum	21	22	23	24	25	26	27	28	29	30	31		
reale Wetterlage	T1: 3T - H*, H / +7			H2: H - 3T / +2			T2: 2T*, T / -38					H3: 2H*, 2Hf, 6H - T*, Tf, T / +20	
Luftdruck (hpa) 06 UTC	1020,2	1021,4	1017,7	1013	1015,1	1012,7	1017,2	1013,3	1020,2	1020,4	1017,7		
mittl. Temp.(°C)	20,9	20,9	20,4	21,2	23	21,1	24,6	24,3	20,4	21,8	25,2		
Sonnenscheindauer (h)	11,2	12,6	13,6	2,5	11,4	6,5	14,3	9,7	14,1	14,2	14,1		
Niederschlag (Liter)	0	0	0	0	1,1	2,2 / 5	0	0	0	0	0		
Bodenwetterlage 00 UTC (Kernlage des Druckgebiets, das SW-D beeinflusst)	T ü W-F	H ü S-Engl	Wellen-T ü SW-D	T ü S-Skand, H ü Alpen	Azor- H	T bei Schottl	H ü Alpen	T ü Nm	H ü NW-F	H ü W-D	H ü N-D		
Bodenströmung 12 UTC zyklonal (z), antizyklonal (a)	fl z	fl z	a-z	a-z	fl a	z	fl a	a	a	a	a		
Strömung auf 500 hpa 00 UTC	W a-z	W a-z	N a-z	SW fl z	NW fl a	SW a-z	W a	SW a-z	W fl z	W a-z	NW a		
zutreffende Wettersymbole	2 r	2 hr	2 hr	3-5 hr	2 hr	3-5 r	2 f	3 r	2 r	2 r	2 hr		

08:43	02:03	04:01	07:45	00:25	01:43	07:22	03:19	01:26	00:28	01:52
NEP 120 VES FIS 20°45'09" KRE 20°45'09" A*	MAR 45 SED WID 13°29'40" STI 28°29'40" T -4	MER 60 ORC KRE 10°45'54" JUN 10°45'55" A	MER 120 CER KRE 11°56'59" FIS 11°57'00" A	VEN 45 VAR ZWI 18°31'51" LÖW 03°31'51" H +2	ORC 45 HAU JUN 10°49'16" WAA 25°49'16" T* -11	VEN 60 APO ZWI 20°18'21" WID 20°18'22" A K?	SON 144 CER LÖW 05°31'15" FIS 11°31'15" A	MAR 144 ORC WID 16°52'49" JUN 10°52'49" H +4	VES 90 ERI KRE 24°33'04" WID 24°33'03" T* -5	VEN 150 PLU ZWI 23°22'30" STE 23°22'29" A
15:52	11:56	17:00	11:06	08:37	02:00	12:38	06:23	05:04	01:06	10:49
MER 90 CHI KRE 09°23'47" WID 09°23'47" A K	VAR 144 KN2 LÖW 03°28'05" SCH 27°28'05" A*	VEN 144 PLU ZWI 17°32'55" STE 23°32'54" T -2	VEN 150 PAL ZWI 18°06'41" STE 18°06'40" A	URA 72 VES STI 10°30'24" KRE 22°30'24" T -6	SON 0 VAR LÖW 03°33'26" STE 23°27'27" T -6	VES 180 PLU KRE 23°27'28" STE 23°27'27" A*	SON 135 NEP LÖW 05°38'35" FIS 20°38'34" A	MAR 90 PAL WID 16°57'01" STE 16°57'01" H +8	NEP 90 APO FIS 20°36'40" WID 20°36'40" H* K* +10 / 0	VEN 45 SON ZWI 08°41'15" LÖW 23°41'15" A K
13:45	17:29	14:45	12:47	16:59	16:06	11:17	10:25	14:19	19:18	
VES 180 JUP KRE 21°17'01" STE 21°17'01" A*	SON 72 JUN LÖW 01°18'27" WAA 13°18'27" A	JUN 135 SED WAA 13°30'45" STI 28°30'45" A*	SON 144 GaZ LÖW 03°01'52" SCH 27°01'52" A	VES 72 MAK KRE 23°05'54" WAA 05°05'54" T* -5	JUP 60 NEP STE 20°39'10" FIS 20°39'10" A* W*	MER 180 PAL KRE 17°07'32" STE 17°07'31" H +2	VEN 144 SAT ZWI 22°00'57" STE 28°00'58" A	MER 180 JUP KRE 20°18'17" STE 20°18'16" A	SON 144 QUA LÖW 09°01'32" STE 03°01'33" H W +3	
20:14	20:25	19:25	15:07	16:59	17:02	13:46	14:50	17:56	18:46	
SAT 120 SED STE 28°30'00" STI 28°30'00" H* +7	MER 60 URA KRE 10°27'38" STI 10°27'39" T K -1	SON 60 GSZ LÖW 02°20'23" WAA 02°20'22" H +3	SON 150 QUA LÖW 03°07'26" STE 03°07'25" T -3	MER 45 SED KRE 13°31'12" STI 28°31'12" T -1	SON 60 FY9 LÖW 05°06'41" WAA 05°06'41" H +3	VEN 72 CHI ZWI 21°19'03" WID 09°19'04" A	MER 72 GSZ KRE 20°20'19" WAA 02°20'21" Hf +7	GaZ 180 KN1 SCH 27°01'52" WID 27°01'52" A*(4/3)	MER 120 NEP KRE 20°35'51" FIS 20°35'52" A W	
20:25	19:21	19:21	17:20	16:59	17:36	23:51	17:56	17:56	18:46	
MER 90 URA KRE 10°27'38" STI 10°27'39" T K -1	SON 144 KN2 LÖW 03°17'33" SCH 27°17'34" A K?	SON 144 KN2 LÖW 03°17'33" SCH 27°17'34" A K?	MAR 72 KN1 WID 15°17'50" ZWI 27°17'50" A	MER 90 JUN KRE 13°49'42" WAA 13°49'42" T -2	VEN 150 JUP ZWI 20°38'43" STE 20°38'42" Tf K -8	JUP 90 APO STE 20°29'38" WID 20°29'38" A*	GaZ 180 KN1 SCH 27°01'52" WID 27°01'52" A*(4/3)	MER 120 NEP KRE 20°35'51" FIS 20°35'52" A W	MER 90 APO KRE 20°42'00" WID 20°42'01" T ...	
20:25	19:21	19:21	17:20	16:59	17:36	23:51	17:56	17:56	18:46	
MER 90 URA KRE 10°27'38" STI 10°27'39" T K -1	SON 144 KN2 LÖW 03°17'33" SCH 27°17'34" A K?	SON 144 KN2 LÖW 03°17'33" SCH 27°17'34" A K?	MAR 72 KN1 WID 15°17'50" ZWI 27°17'50" A	MER 90 JUN KRE 13°49'42" WAA 13°49'42" T -2	VEN 150 JUP ZWI 20°38'43" STE 20°38'42" Tf K -8	JUP 90 APO STE 20°29'38" WID 20°29'38" A*	GaZ 180 KN1 SCH 27°01'52" WID 27°01'52" A*(4/3)	MER 120 NEP KRE 20°35'51" FIS 20°35'52" A W	MER 90 APO KRE 20°42'00" WID 20°42'01" T ...	
20:25	19:21	19:21	17:20	16:59	17:36	23:51	17:56	17:56	18:46	
MER 90 URA KRE 10°27'38" STI 10°27'39" T K -1	SON 144 KN2 LÖW 03°17'33" SCH 27°17'34" A K?	SON 144 KN2 LÖW 03°17'33" SCH 27°17'34" A K?	MAR 72 KN1 WID 15°17'50" ZWI 27°17'50" A	MER 90 JUN KRE 13°49'42" WAA 13°49'42" T -2	VEN 150 JUP ZWI 20°38'43" STE 20°38'42" Tf K -8	JUP 90 APO STE 20°29'38" WID 20°29'38" A*	GaZ 180 KN1 SCH 27°01'52" WID 27°01'52" A*(4/3)	MER 120 NEP KRE 20°35'51" FIS 20°35'52" A W	MER 90 APO KRE 20°42'00" WID 20°42'01" T ...	

Juli 2020: Fehlprognosen

Datum	Vorzeichen Symbol	Analyse
17.	-7 3-5 hr	Hoch Zebedäus über Ostatlantik. Flacher Index, auf 500 hpa zyklonal.
18.	-16 2 f	Hoch Zebedäus über Westdeutschland. Der negative Index bewirkte nur eine rasche Bewegung des Kerns nach Osten, der am 19. schon das Baltikum erreichte. Zunächst vollzog sich lediglich ein Wechsel der Region in ein Hoch über den Alpen am 19. und in das nächste von Westen herankommende Hoch Albrecht am 20. Juli. Der negative Index am 18. ging auf die Aspekte Sonne 45° Orcus T / 90° Haumea T und die damit verbundene Symmetrie Orcus 45° Sonne Haumea T T* T -14 zurück, die sich nur schwach und verzögert durchsetzen konnte. Auf 500 hPa flach zyklonal.
19.	-5 2 hr	Hoch über Alpen und Hoch Zebedäus über Baltikum. Flacher Index.
21.	+14 2 r	Tief über Westfrankreich. Tiefdruckphase nach dem Premeteo-Index vom 22. bis 24. setzt um einen Tag zu früh ein. Es bleiben die Aspekte Venus 144° Jupiter Hf und Sonne 180° Saturn H wirkungslos, wobei sich Jupiter und Saturn in rückläufiger Bewegung befinden.
27.	-16 2 f	Hoch Balu über den Alpen. Am Nachmittag bis um 0 UTC des 28. dehnte sich Tief Dana mit Kern über dem Nordmeer bis in unsere Region aus, konnte sich jedoch nicht bis 12 UTC halten.
31.	-2 2 hr	Hoch Claws über Norddeutschland. Flacher Index.

Monatsauswertung (Lahr)

Jul 20

H-Wetterlagen

	Anzahl der Wetterlagen	Anzahl der Tage	Niederschlag in Liter	H*	Hf	H	T*	Tf	T	L
normal	2	25	23,7 / 42,5	5	4	22	2	3	11	0
anormal	1	1	1,1 / -	0	0	1	0	0	3	0
gesamt	3	26	24,8 / 42,5	5	4	23	2	3	14	0

Verhältnis H/Tage = $32/26 = 1,23$
 Verhältnis T/Tage = $19/26 = 0,73$

T-Wetterlagen

	Anzahl der Wetterlagen	Anzahl der Tage	Niederschlag in Liter	H*	Hf	H	T*	Tf	T	L
normal	2	5	2,2 / 5	1	0	1	2	0	4	0
anormal	0	0	0	0	0	0	0	0	0	0
gesamt	2	5	2,2 / 5	1	0	1	2	0	4	0

Verhältnis H/Tage = $2/5 = 0,4$
 Verhältnis T/Tage = $6/5 = 1,2$

ganzer Monat	Anzahl der Wetterlagen	Anzahl der Tage	Niederschlag in Liter	H*	Hf	H	T*	Tf	T	L
	5	31	27,0 / 47,5	6	4	24	4	3	18	0

Gesamtzahl H-Aspekte: 34
 Gesamtzahl T-Aspekte: 25
 Zahl aller Aspekte: 123
 Quotient H/T = 1,36
 Gesamtzahl L-Aspekte: 0

Niederschlag Durbach: s.o. hinter Schrägstrich

r = richtig hr = halbrichtig f = falsch

Symbolprognose in Tagen	13 r 14 hr 4 f
-------------------------	----------------

Premeteo-Index pro Tag	HWL +253/26 = +9,73	TWL -31/5 = -6,2
------------------------	---------------------	------------------

bezüglich des Vorzeichens richtige Tage	25	bezüglich des Vorzeichens falsche Tage	6
---	----	--	---

Bei der Auswertung des Januar 2017 wurde entdeckt, dass im Index 3 möglicherweise nur dann Auslösungsaspekte aktiviert werden, wenn der Konjunktionsplanet einen Aspekt mit einem Planeten bildet, der einen höheren Rang hat als der betroffene Konjunktionsplanet selbst. Dies bestätigte sich im Laufe des ganzen Jahres 2017. Manchmal entstand der Eindruck, dass die im korrigierten Index 3 nicht mehr angerechneten Aspekte auf 500 hpa zum Teil doch anwesend waren. Ab Januar 2018 werden nur noch die im Index 3 korrigierten Prognosen ausgewertet.